

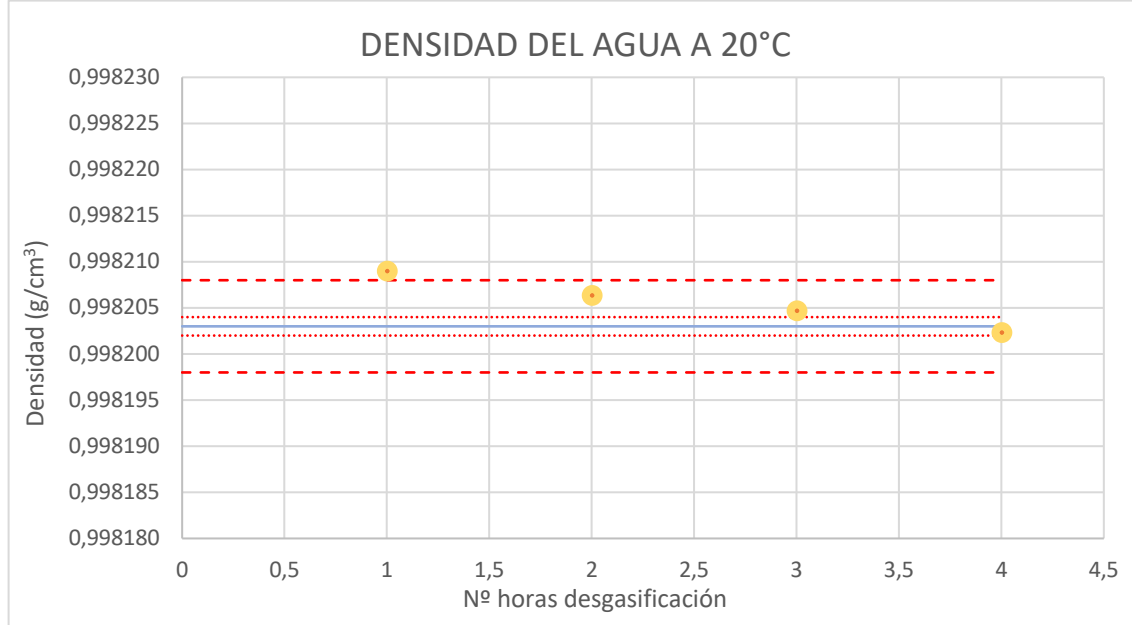
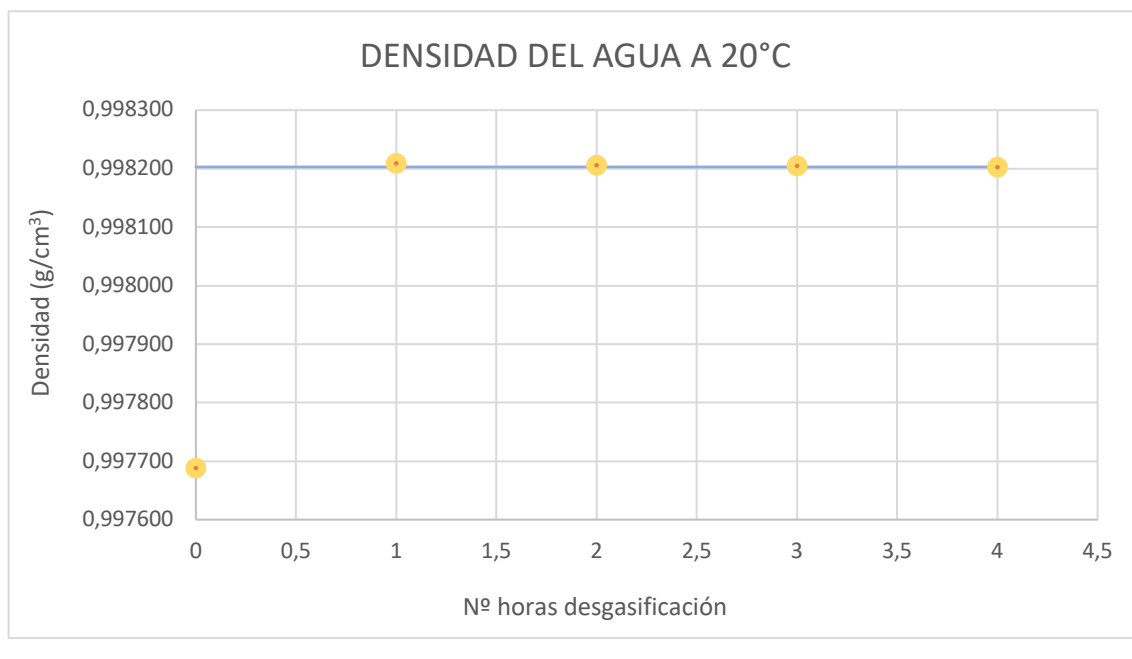
ANEXO

ÍNDICE

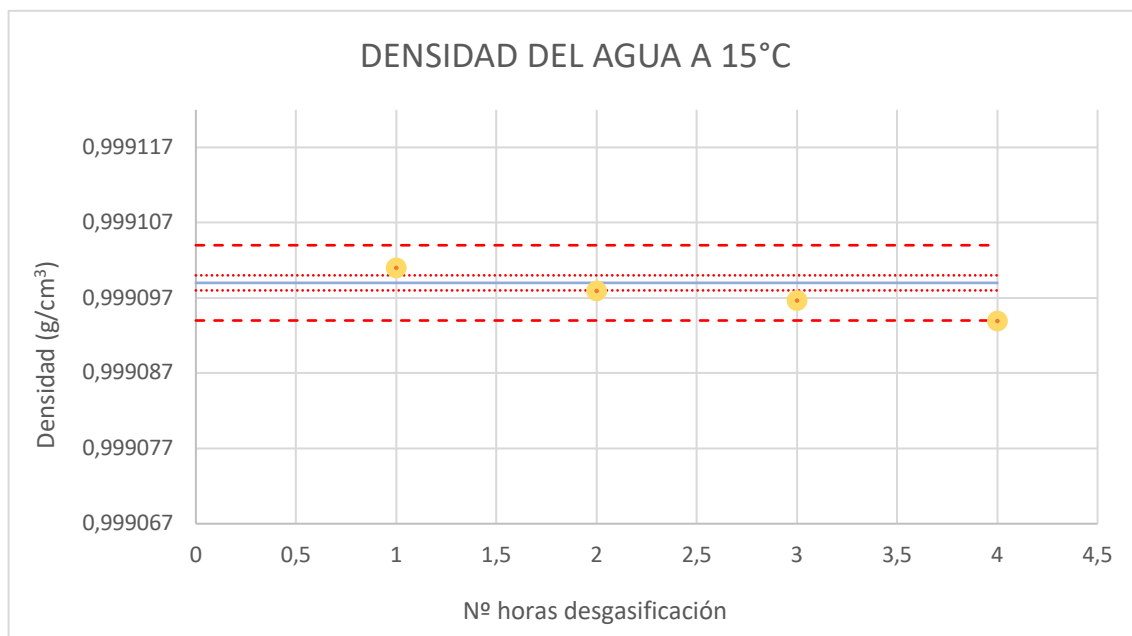
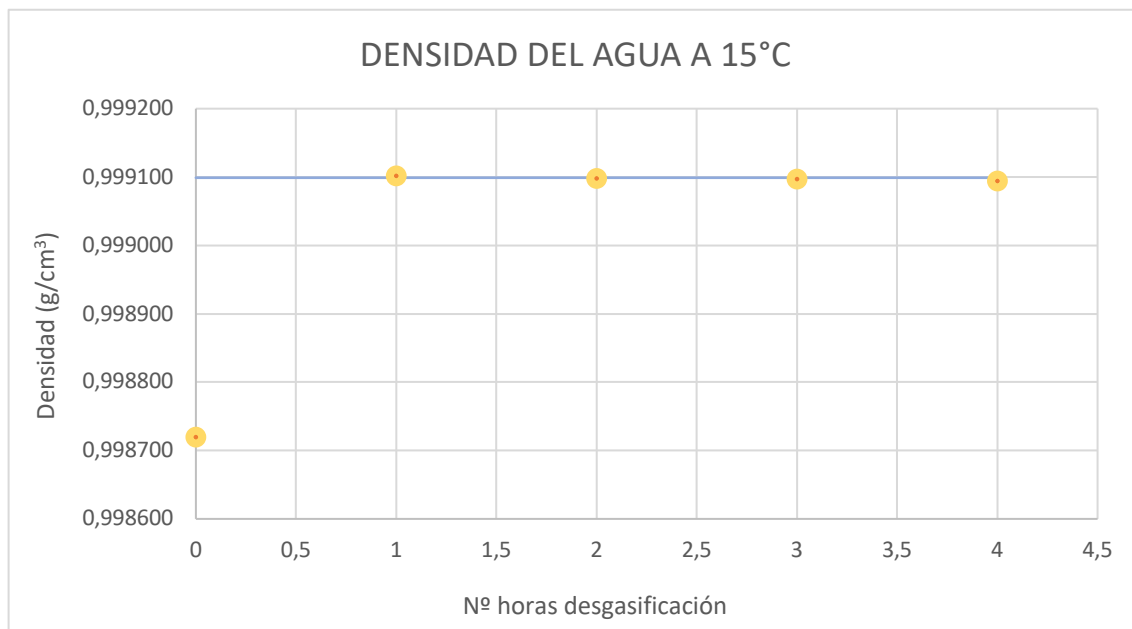
FIGURAS A1. AGUA MILLI-Q	2
FIGURAS A3. AGUA MILLI-Q	4
FIGURAS A2. AGUA MILLI-Q	5
FIGURAS A4. AGUA MILLI-Q	6
FIGURAS A5. DISOLUCIÓN DE NACL A 25°C	7
FIGURAS A6. DISOLUCIÓN DE NACL A 25°C	8
FIGURAS A7. DISOLUCIÓN DE NACL A 25°C	9
FIGURAS A8. DISOLUCIÓN DE NACL A 25°C	10
FIGURAS A9. DISOLUCIÓN DE NACL A 25°C	11
FIGURAS A10. DISOLUCIÓN DE NACL A 25°C	12
DATOS EXPERIMENTALES DE LAS DISOLUCIONES DE NACL Y GLICINA.....	13

Figuras A1. Agua milli-Q

Representación de la densidad, ρ , del agua mili-Q desgasificada frente al tiempo de desgasificación a 293,15 K. • : Resultados experimentales; — : Valores de referencia [14]; - - - ; Margen de precisión del aparato; ; Margen de reproducibilidad del aparato.

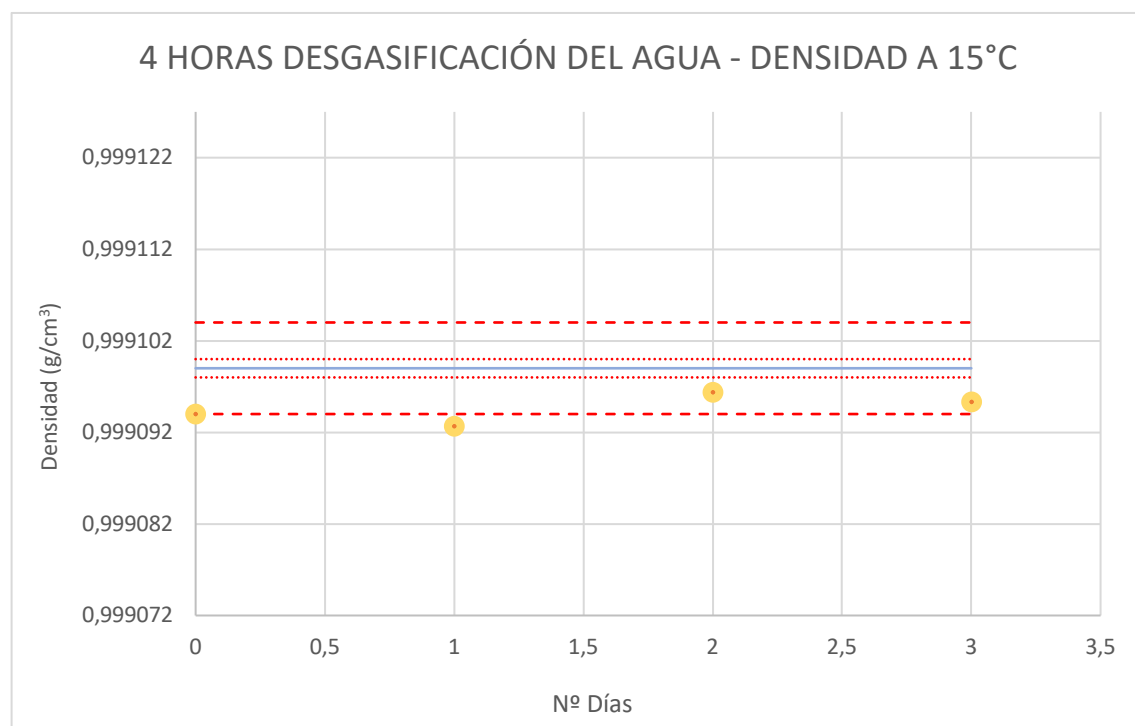
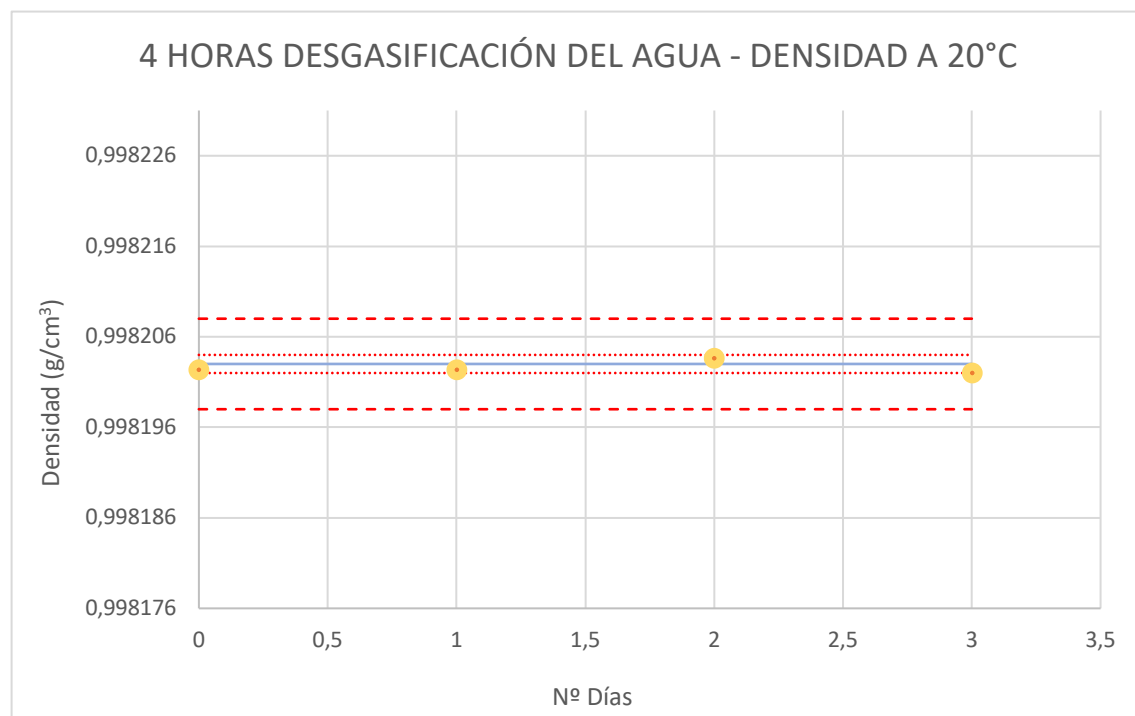


Representación de la densidad, ρ , del agua mili-Q desgasificada frente al tiempo de desgasificación a 288,15 K. • : Resultados experimentales; — : Valores de referencia [14]; - - - ; Margen de precisión del aparato; ; Margen de reproducibilidad del aparato.



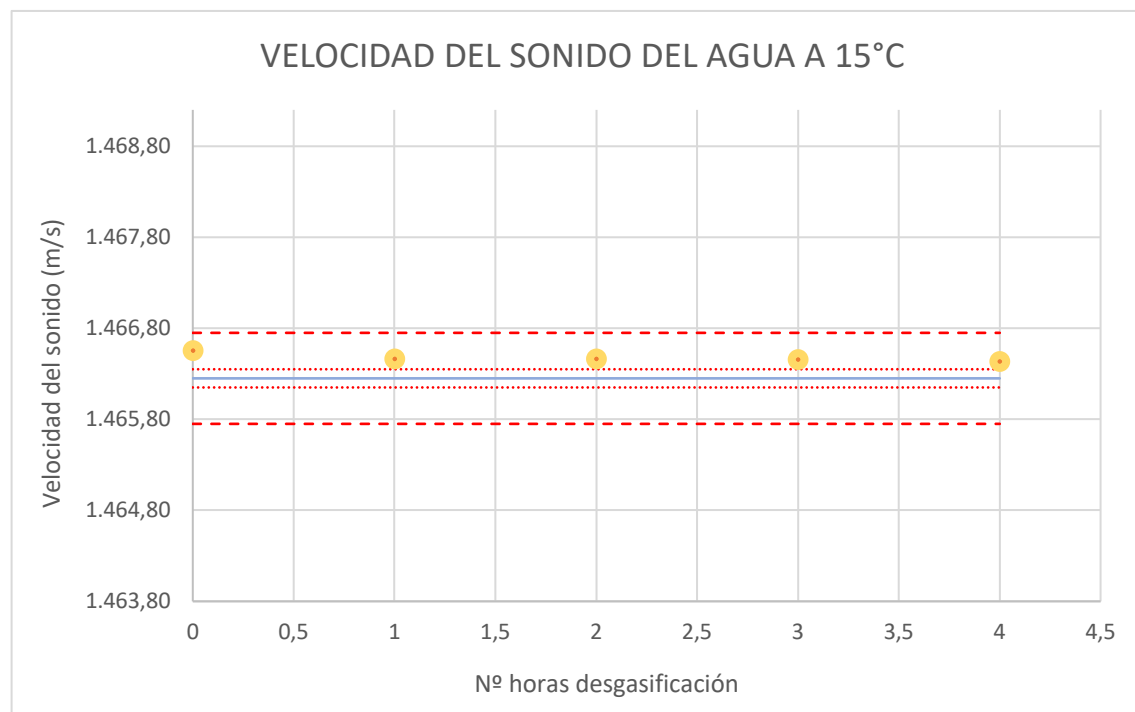
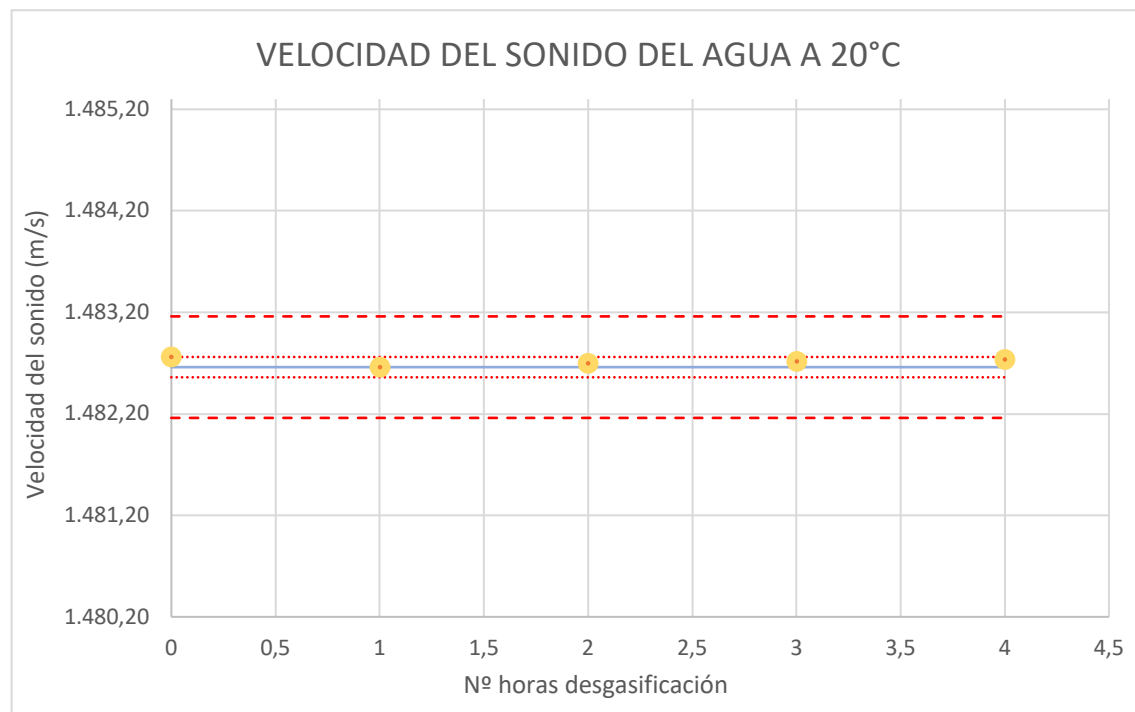
Figuras A3. Agua milli-Q

Representación de la densidad, ρ , del agua mili-Q desgasificada frente al número de días de conservación a 293,15 y 288,15 K. • : Resultados experimentales; — : Valores de referencia [14]; - - - : Margen de precisión del aparato; - · - : Margen de reproducibilidad del aparato.



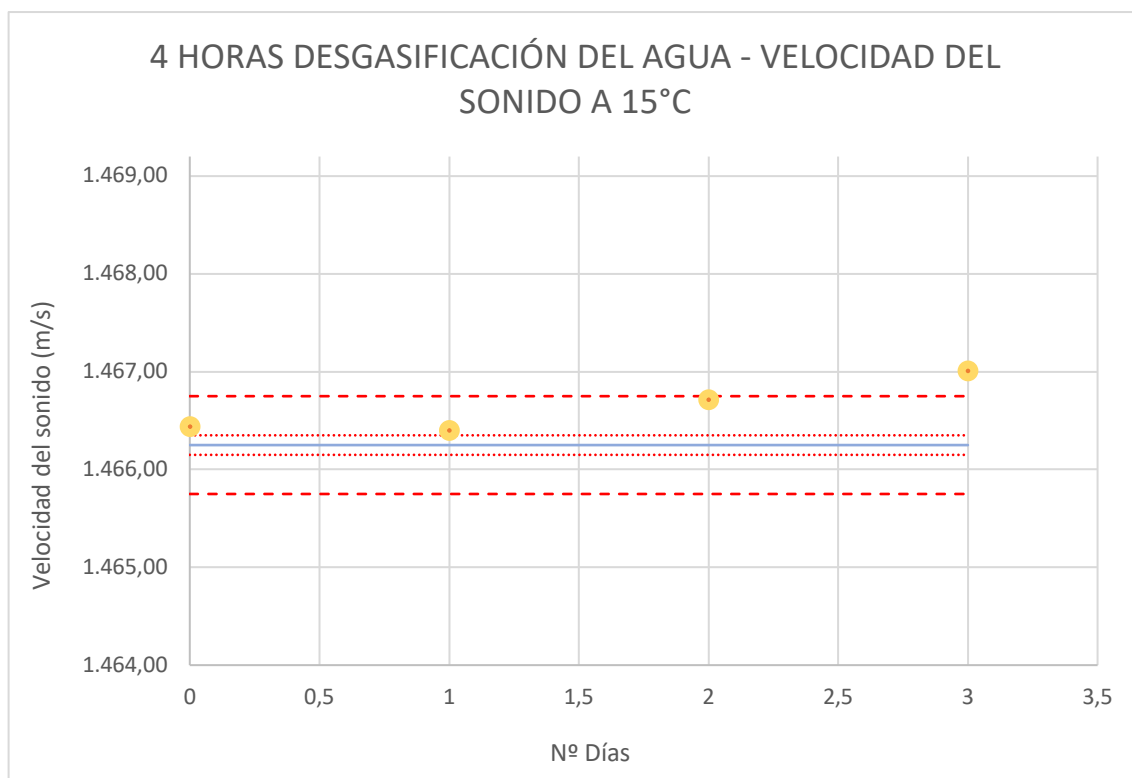
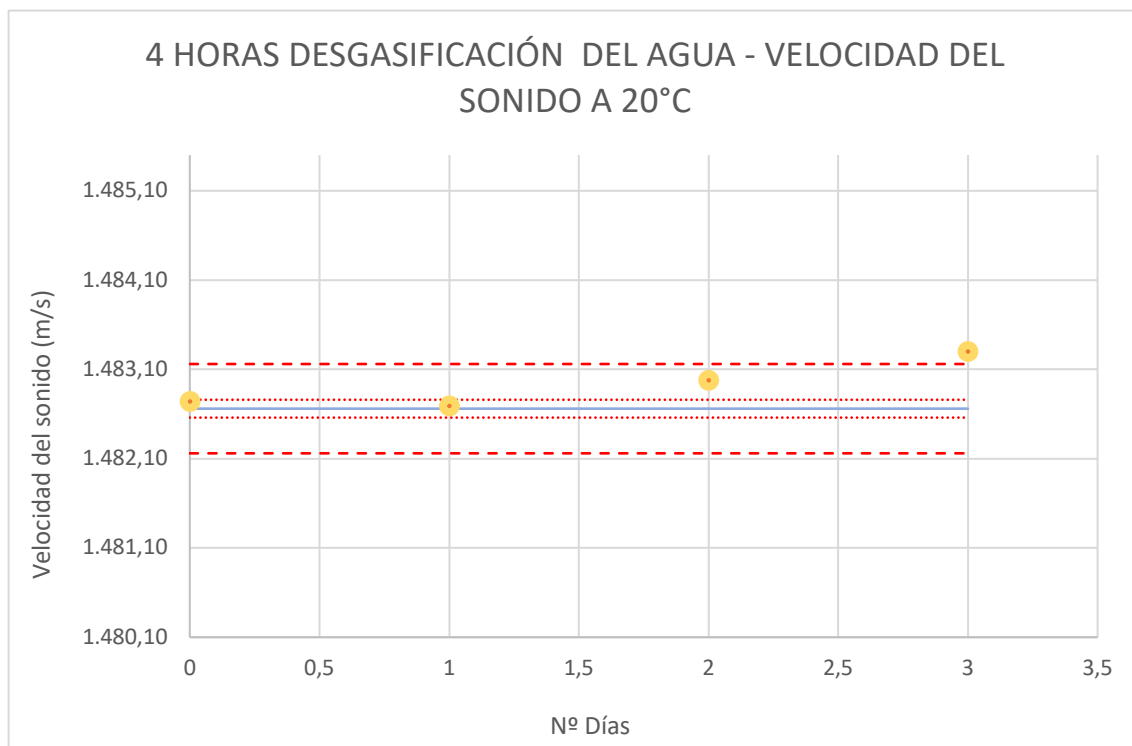
Figuras A2. Agua milli-Q

Representación de la velocidad del sonido, u , del agua milli-Q desgasificada frente al tiempo de desgasificación a 293,15 y 288,15 K. • : Resultados experimentales; — : Valores de referencia [15]; - - - ; Margen de precisión del aparato; ; Margen de reproducibilidad del aparato.



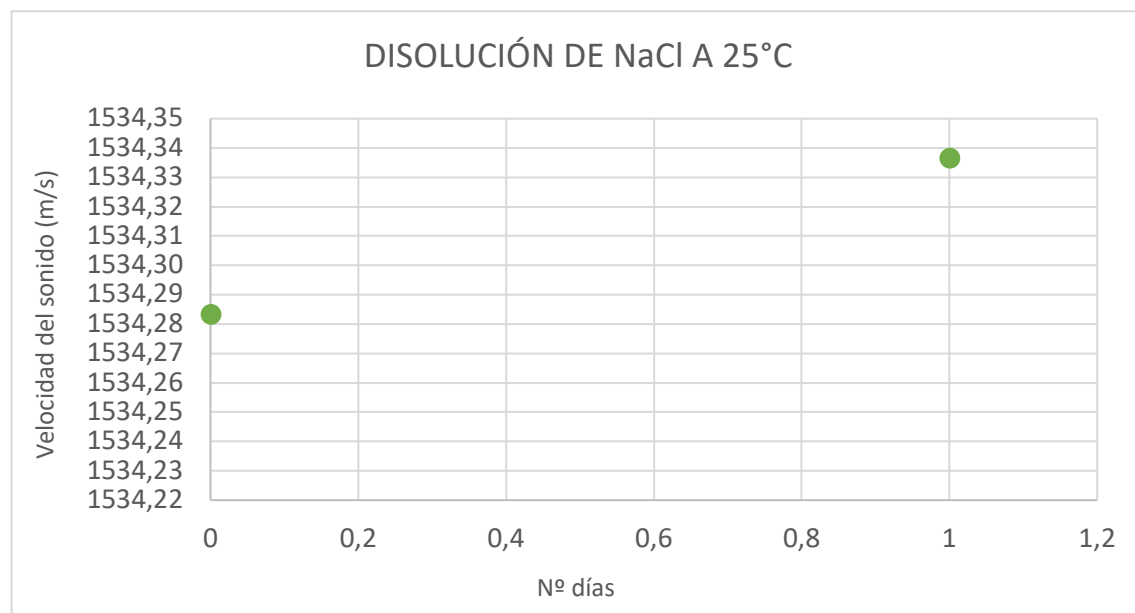
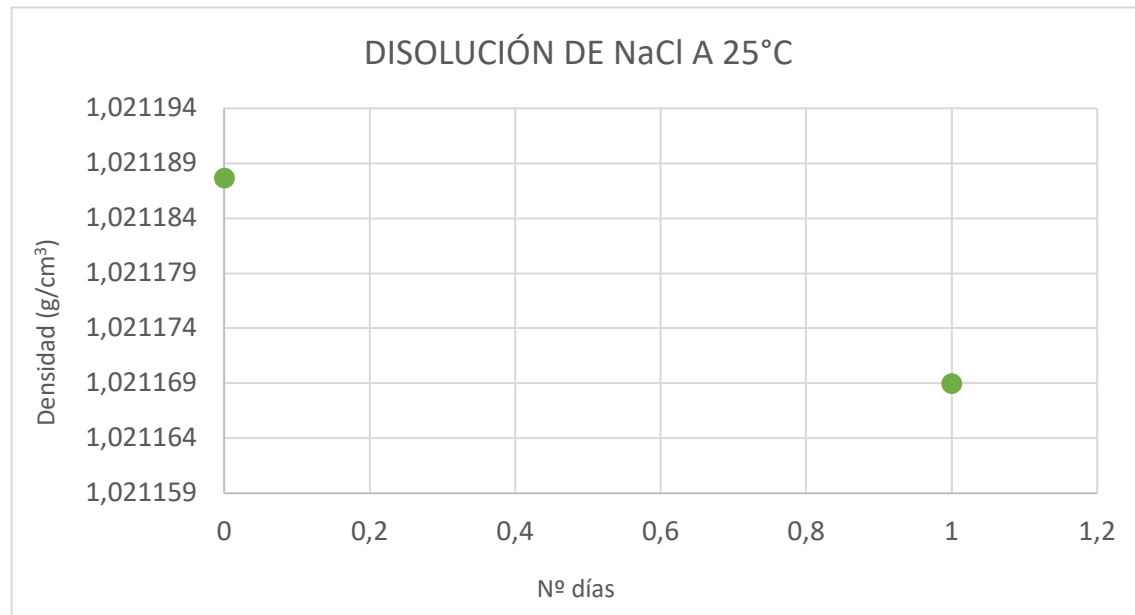
Figuras A4. Agua milli-Q

Representación de la velocidad del sonido, u , del agua mili-Q desgasificada frente al número de días de conservación a 293,15 y 288,15K. • : Resultados experimentales; — : Valores de referencia [14]; - - - ; Margen de precisión del aparato; - · - - ; Margen de reproducibilidad del aparato.



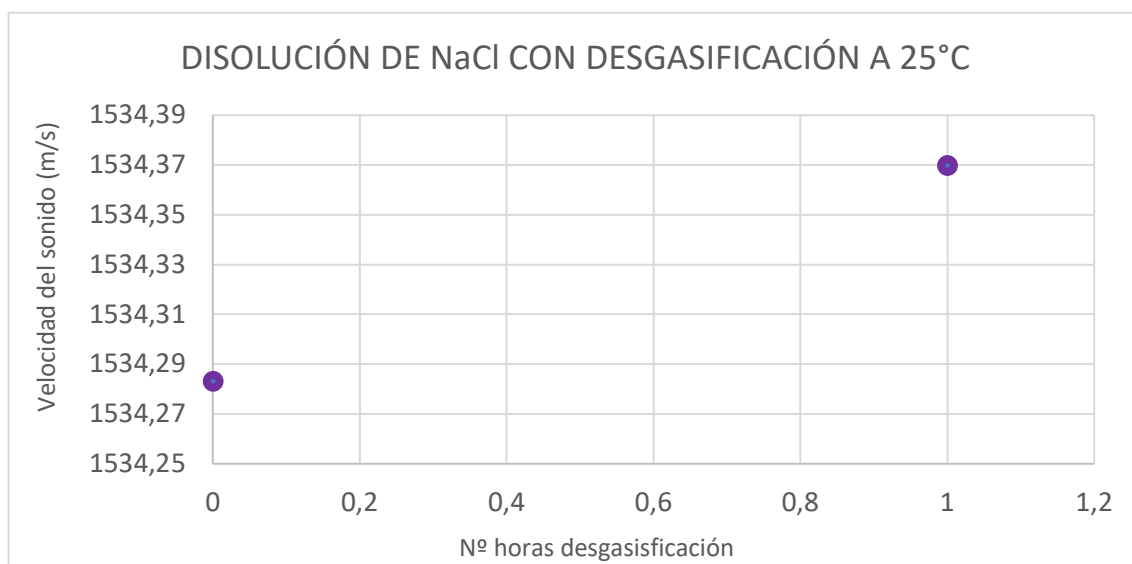
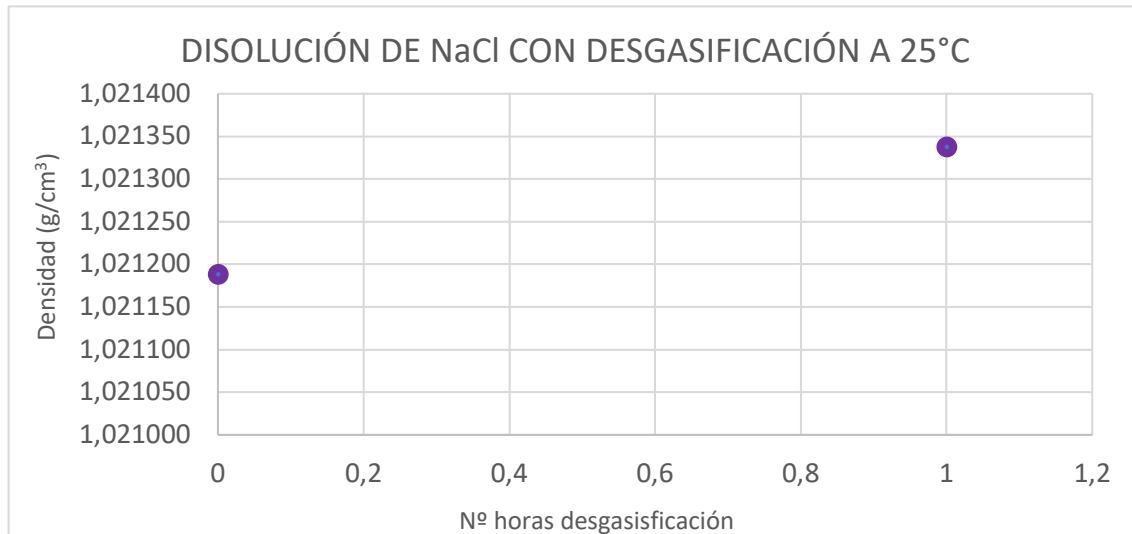
Figuras A5. Disolución de NaCl a 25°C

Representación de la densidad, ρ , y velocidad del sonido, u , de la disolución de NaCl 0,6068 molal preparada con agua milli-Q desgasificada 4 horas frente al tiempo de conservación a 298,15 K.



Figuras A6. Disolución de NaCl a 25°C

Representación de la densidad, ρ , y velocidad del sonido, u , de la disolución de NaCl 0,6068 molal preparada con agua milli-Q desgasificada 4 horas frente al tiempo posterior de desgasificación 298,15 K.



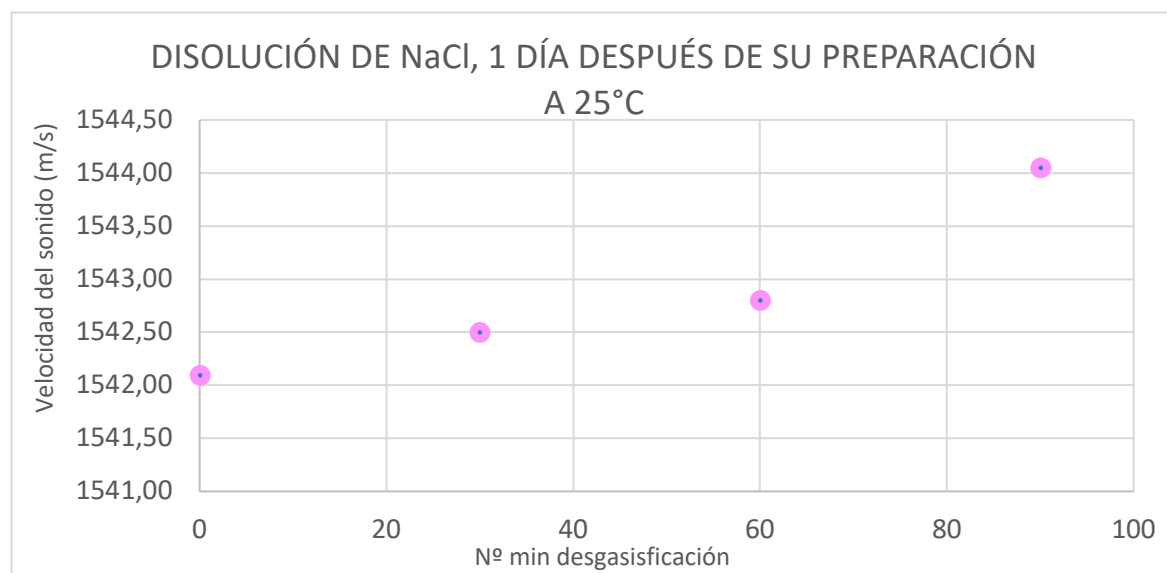
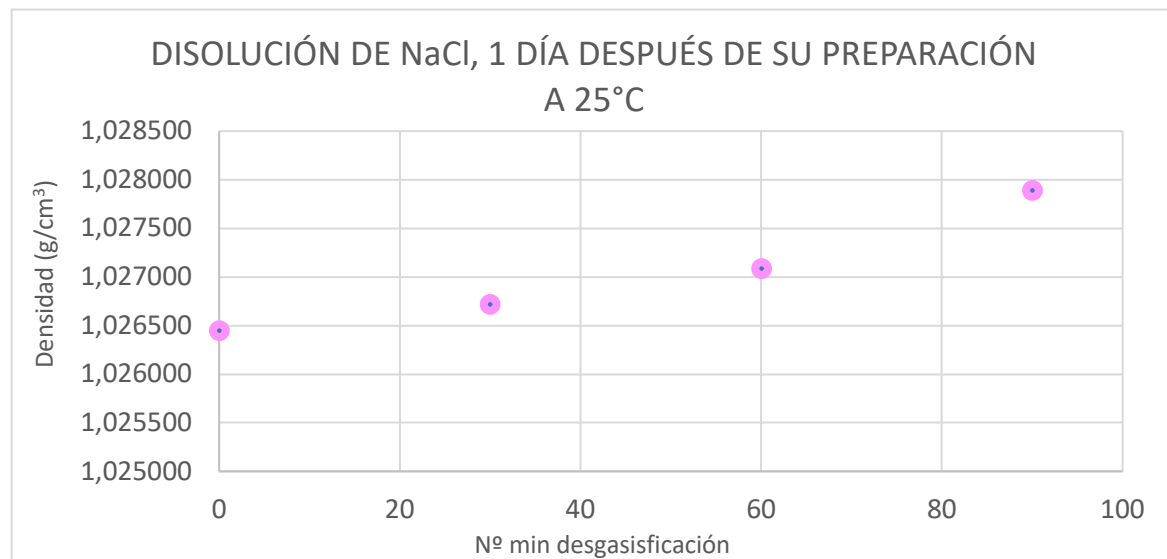
Figuras A7. Disolución de NaCl a 25°C

Representación de la densidad, ρ , y velocidad del sonido, u , de la disolución de NaCl 0,6068 molal, preparada con agua milli-Q desgasificada 4 horas y desgasificada posteriormente 1 hora, frente al tiempo de conservación a 298,15 K.



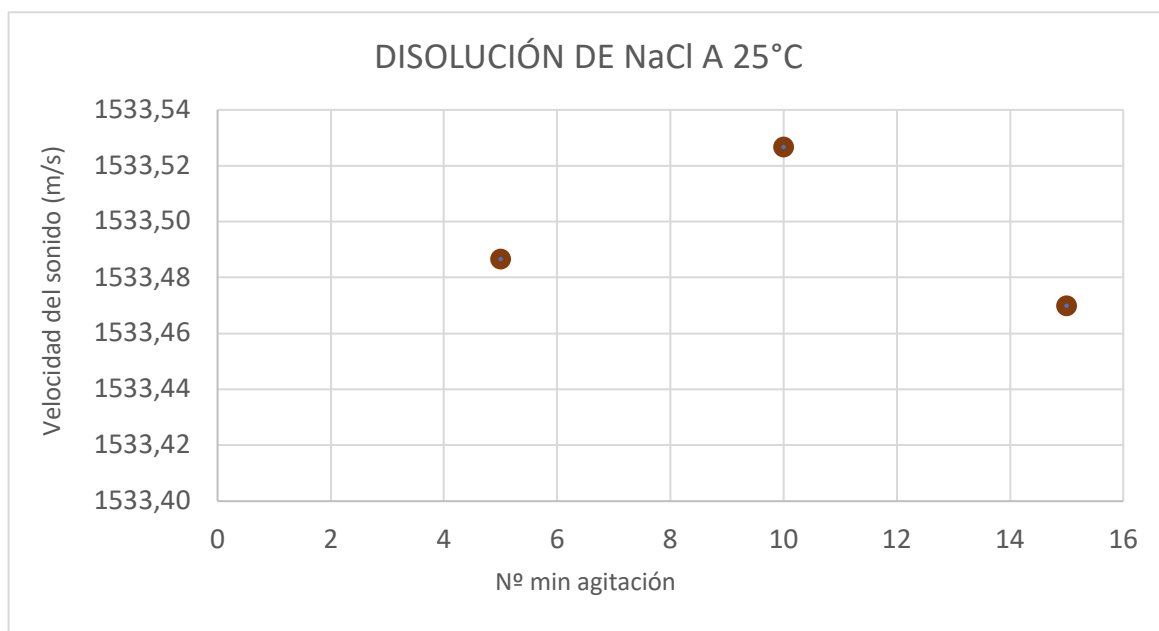
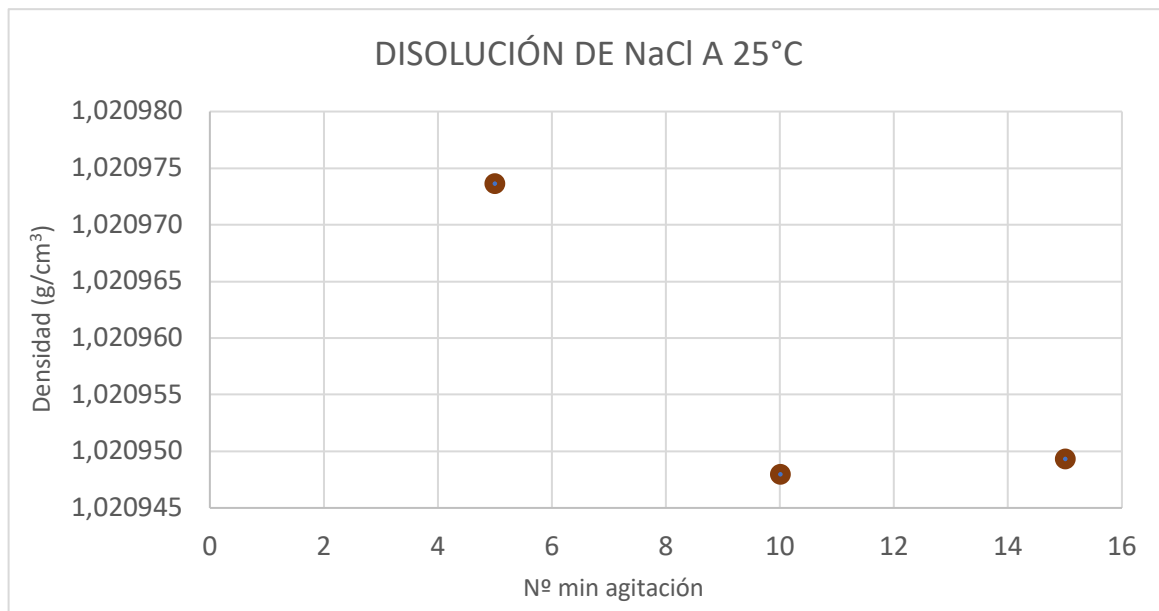
Figuras A8. Disolución de NaCl a 25°C

Representación de la densidad, ρ , y velocidad del sonido, u , de la disolución de NaCl 0,7451 molal (preparada con agua milli-Q desgasificada 4 horas), medida el día posterior a su preparación después de desgasificarla nuevamente frente al número de minutos de desgasificación a 298,15 K.



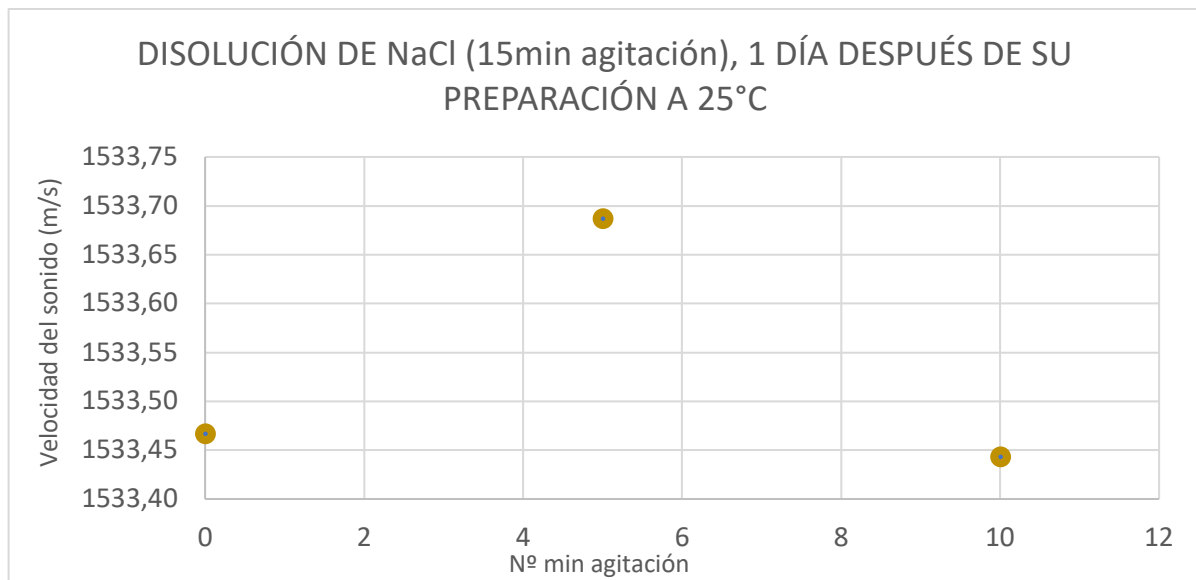
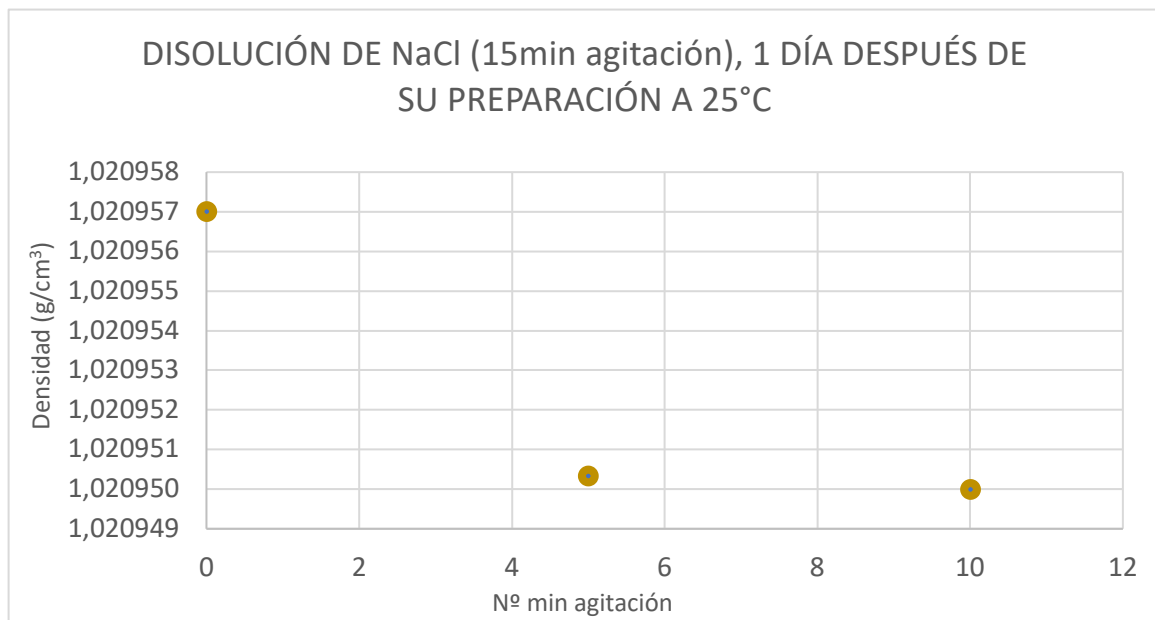
Figuras A9. Disolución de NaCl a 25°C

Representación de la densidad, ρ , y velocidad del sonido, u , de la disolución de NaCl 0,5999 molal preparada con agua milli-Q desgasificada 4 horas frente al número de minutos de agitación a 298,15 K.



Figuras A10. Disolución de NaCl a 25°C

Representación de la densidad, ρ , y velocidad del sonido, u , de la disolución de NaCl 0,5999 molal (preparada con agua milli-Q desgasificada 4 horas) agitada 15 minutos, medida el día posterior a su preparación después de agitarla nuevamente frente al número de minutos de agitación a 298,15 K.



Datos experimentales de las disoluciones de NaCl y glicina

Tabla A1: Densidad, ρ , y velocidad del sonido, u , para las disoluciones de glicina de distintas molalidades en los diferentes disolventes, constituidos por disoluciones acuosas de distintas molalidades de cloruro de sodio, NaCl, a la temperatura de trabajo, 298,15 K, y presión atmosférica.

Molalidad glicina (mol/kg)	Densidad, ρ (kg/m ³)	Velocidad del sonido, u (m/s)
NaCl concentración = 0.0 m		
0,000	997,0	1497
0,4972	1012,4	1523
1,0226	1027,4	1548
1,4867	1039,9	1569
1,9724	1052,2	1591
2,4091	1062,6	1609
2,9291	1074,3	1630
NaCl concentración = 0.2 m		
0,000	1005,2	1510
0,4975	1020,1	1535
1,0038	1034,3	1559
1,4771	1046,7	1580
1,9545	1058,4	1601
2,4064	1069,0	1619
2,9080	1080,0	1639
NaCl concentración = 0.4 m		
0,000	1013,2	1523
0,4968	1027,6	1547
1,0077	1041,5	1570
1,4603	1053,1	1590
1,9653	1065,3	1611
2,4890	1077,2	1632
2,9521	1087,1	1650
NaCl concentración = 0.6 m		
0,000	1021,0	1535
0,5013	1035,2	1558
0,9827	1048,0	1580
1,4533	1059,8	1600
1,9959	1072,5	1622
2,4717	1083,0	1641

2,9309	1092,6	1658
NaCl concentración = 0.8 m		
0,0000	1028,6	1546
0,4939	1042,3	1569
1,0087	1055,6	1591
1,4861	1067,2	1611
1,9150	1077,1	1628
2,5167	1090,1	1651
3,0780	1101,5	1672
NaCl concentración = 1.0 m		
0,0000	1036,2	1558
0,4941	1049,6	1580
0,8911	1059,7	1597
1,4558	1073,1	1620
1,8365	1081,7	1635
2,4550	1094,9	1658
3,1226	1108,2	1682

